

بهبود عملکرد مدولاسیون فضایی تعمیم یافته در کanal های با محوشدگی چندمسیری

علیرضا رضوانی، رضا سعادت و جمشید ابوئی

جدول ۱: اطلاعات موجود در شماره آتن فعال.

شماره آتن ارسالی	بیت اطلاعات تخصیص یافته
۰۰	آتن اول
۰۱	آتن دوم
۱۰	آتن سوم
۱۱	آتن چهارم

اعضای منظومه^۴ و یک آتن از مجموعه آتن های فرستنده انتخاب و سمبیل مورد نظر از آتن انتخابی ارسال می شود. به عنوان نمونه در صورتی که از ۴ آتن در فرستنده استفاده شود هر آتن دارای ۲ بیت اطلاعات خواهد بود. جدول ۱ تخصیص بیت های اطلاعاتی فوق را نشان می دهد. بازده طیفی^۵ این روش برابر لگاریتم مبنای دو از اندازه منظومه به علاوه لگاریتم مبنای دو از تعداد آتن های ارسالی می باشد [۳].

انتخاب این که چه تعداد بیتی از طریق واحد اول و چه تعداد از آن توسط واحد دوم ارسال شود به شرایط کanal و محدودیت های موجود در فرستنده بستگی دارد. به عنوان نمونه جهت دست یابی به بازده طیفی ۴ می توان از ۲ آتن (یک بیت اطلاعات) و استفاده از مدولاسیون ۸ QAM (سه بیت اطلاعات)، ۴ آتن (دو بیت اطلاعات) و مدولاسیون ۴ QAM (دو بیت اطلاعات) و یا ۸ آتن (سه بیت اطلاعات) و استفاده از مدولاسیون BPSK (یک بیت اطلاعات) استفاده نمود. بدیهی است در صورتی که از یک آتن در فرستنده استفاده شود جهت دست یابی به بازده طیفی ۴ bps/Hz باید از مدولاسیون QAM ۱۶ یا مدولاسیون های مشابه با همین اندازه منظومه استفاده نمود که در این صورت ارسال با روش مدولاسیون فضایی به روش ارسال مرسوم در مدولاسیون های دیجیتال تبدیل خواهد شد.

با استفاده از یک سیستم چندآتنه می توان به سه بهره چندگانگی^۶، تسهیم^۷ و بهره آرایه^۸ دست یافت [۴]. چندگانگی حاصل از سیستم های چندآتنه از نوع فضایی^۹ می باشد که نسبت به چندگانگی زمانی دارای این مزیت است که در چندگانگی فضایی بدون کاهش نرخ ارسال مؤثر، بهره چندگانگی حاصل می شود، در حالی که در چندگانگی زمانی این گونه نیست [۴]. مزیت مدولاسیون فضایی در مقایسه با روش تک آتنه، ایجاد یک بهره تسهیم در حوزه فضایی می باشد که بازده طیفی را به میزان لگاریتم مبنای دو از تعداد آتن های ارسالی افزایش می دهد [۳]. به عبارت بهتر در گیرنده علاوه بر تخمین سمبیل ارسالی، شماره آتن ارسالی نیز

چکیده: مدولاسیون فضایی یک روش جدید استفاده از سیستم های چندآتنه است که ایده اصلی این روش، نگاشت بلوک اطلاعات به دو واحد حمل کننده اطلاعات می باشد: یک واحد سمبیل ارسالی است که از اعضای منظومه انتخاب می شود و واحد دیگر، شماره آتن فعال می باشد که در واقع نشان دهنده موقعیت آتن ارسال کننده سمبیل است. استفاده از آتن فعال به عنوان یک منبع ارسال اطلاعات اضافی سبب افزایش بازده طیفی می شود. همچنین عدم وجود تداخل بین آتنی و بین کanalی در این روش سبب کاهش بیچیدگی در گیرنده می شود. در نتیجه مدولاسیون فضایی به رقبی برای روش های استفاده از چند آتن مانند V-BLAST و کدینگ فضایی تعمیم یافته است. اخیراً روش مدولاسیون فضایی تعمیم یافته از آن به جای استفاده از یک آتن در هر دوره سمبیل، از چند آتن فعال استفاده می شود. ارسال یک سمبیل از چند آتن، سبب به دست آمدن بهره چندگانگی خواهد شد. در این مقاله نشان داده می شود که با استفاده از روش های کدگذاری کanal مختلف در مدولاسیون فضایی تعمیم یافته از ۱۵ تا ۴۰ درصد بهبود در نسبت سیگنال به نویزهای متوسط و بالا حاصل خواهد شد.

کلید واژه: اطلاعات حالت کanal، سیستم های چندورودی - چندخروجی، کدگذاری کanal، مدولاسیون فضایی تعمیم یافته.

۱- مقدمه

مدل اولیه مدولاسیون فضایی^۱ (SM) برای نخستین بار در سال ۲۰۰۱ مطرح شد که به آن مدولاسیون جابه جایی فضا^۲ (SSK) گفته می شود که در واقع حالت خاصی از مدولاسیون فضایی می باشد [۱]. روش مرسوم مدولاسیون فضایی در سال ۲۰۰۶ مطرح شد [۲]. مدولاسیون فضایی یکی از روش های استفاده از سیستم های چندآتنه است که در آن تنها یکی از آتن های موجود در فرستنده در هر دوره سمبیل^۳ فعال می باشد. در این روش، اطلاعات توسط دو واحد ارسال می شود: یک واحد سمبیل ارسال شده از آتن فعال و واحد دوم موقعیت فضایی آتن ارسال کننده سمبیل می باشد. به عبارت بهتر در این روش موقعیت فضایی آتن نیز حاوی اطلاعات است و با توجه به دنباله ارسالی مورد نظر، یک سمبیل از این مقاله در تاریخ ۲۱ مهر ماه ۱۳۹۲ دریافت و در تاریخ ۲۸ تیر ماه ۱۳۹۳ بازنگری شد.

علیرضا رضوانی، دانشکده برق و کامپیوتر، دانشگاه یزد، یزد، (email: rezvani_alireza@stu.yazd.ac.ir)
رضا سعادت، دانشکده برق و کامپیوتر، دانشگاه یزد، یزد، (email: rsaadat@yazd.ac.ir)
جمشید ابوئی، دانشکده برق و کامپیوتر، دانشگاه یزد، یزد، (email: abouei@yazd.ac.ir)

1. Spatial Modulation

2. Space Shift Keying

3. Symbol Duration

- 4. Constellation
- 5. Spectral Efficiency
- 6. Diversity
- 7. Multiplexing
- 8. Array
- 9. Spatial

در بخش ۲ مدل سیستم استفاده شده در مقاله ارائه شده و در بخش ۳ سه روش جهت بهبود عملکرد مدولاسیون فضایی تعمیم یافته آمده است. پیچیدگی محاسباتی^۷ روش‌های ارائه شده نیز در بخش ۴ آورده شده و بخش آخر نیز به جمع‌بندی و نتیجه‌گیری اختصاص دارد.

۲- مدل سیستم

سیگنال دریافتی در یک سیستم چندآنتن با N_T آنتن در فرستنده و N_R آنتن در گیرنده به صورت زیر تعریف می‌شود

$$y = Hx + n \quad (1)$$

که در رابطه فوق y بردار دریافتی، H ماتریس اطلاعات حالت کانال^۸ دارای N_R سطر و N_T ستون، x سمبیل ارسالی و n بردار نویز مختلط گوسی جمع‌شونده است. در روش GSM در هر دوره سمبیل N_A آنتن ($N_A < N_T$) فعال می‌باشد و فرض می‌شود که کانال دارای محوشگی مسطح^۹ است که ضرایب محوشگی دارای توزیع رایلی با انرژی واحد می‌باشد. همچنین فرض می‌شود که ماتریس اطلاعات حالت کانال (H) در گیرنده مشخص باشد و از مدولاسیون‌های خطی از جمله M-PSK و M-QAM به جهت ارسال سمبیل استفاده شده که در آن M برابر اندازه منظومه می‌باشد. تحت شرایط فوق، تعداد کل حالت‌های ممکن برای ارسال متساوية با M^{N_T} است، پس تعداد بیت‌های ممکن برای ارسال در هر دوره سمبیل برابر $\log_2(M) \times \binom{N_T}{N_A}$ خواهد بود. مثلاً با فرض استفاده از مدولاسیون BPSK وجود ۵ آنتن در سمت فرستنده و فعال‌بودن هم‌زمان ۲ آنتن در هر دوره سمبیل، بیشترین بازده طیفی قابل حصول در هر دوره سمبیل برابر $= 2 \times \binom{5}{2} = 10$ می‌باشد. به هر یک از حالت‌های مختلف فعال‌بودن آنتن ارسالی کدی اختصاص می‌یابد. در جدول ۲ نمونه‌ای از تخمین مزیت این روش می‌باشد که مثلاً آنتن ۲ و همان گونه که مشخص می‌باشد حالت‌های فعال‌بودن هم‌زمان آنتن‌های (۲۵) و همچنین (۵) ظاهر نشده است. در واقع جهت دست‌یابی به بازده طیفی برابر ۲۰ bps/Hz از ۱۶ حالت نیاز می‌باشد و ۴ حالت نیز در نظر گرفته نشده است. در روش GSM سیگنال دریافتی در گیرنده به صورت زیر مدل می‌شود

$$y = h'x + n \quad (2)$$

که h' برابر جمع نظیر به نظیر ستون‌های مربوط به آنتن‌های فعال ماتریس H می‌باشد. به عبارت بهتر چنانچه دو آنتن ۱ و ۲ در فرستنده در یک دوره سمبیل فعال باشد ستون اول و دوم ماتریس H به طور نظری به نظیر با هم جمع شده و به عنوان ضریب محوشگی کانال در نظر گرفته می‌شود. در صورتی که از یک سیستم چنددوری- چندخروجی^{۱۰} (MIMO) با N_T آنتن فعال استفاده شود، h' برابر مجموع تمام ستون‌های ماتریس H خواهد بود. از آنجا که سمبیل‌های ارسالی هم‌احتمال فرض می‌شود، معیار تصمیم‌گیری بهینه برابر معیار^{۱۱} ML خواهد بود و بنابراین خواهیم داشت

جدول ۲: تخصیص کد در روش GSM با استفاده از مدولاسیون BPSK و وجود ۵ آنتن فرستنده که دو آنتن به طور هم‌زمان فعال باشد.

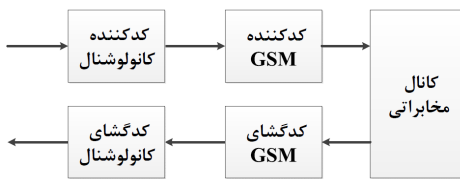
شماره آنتن‌های فعال	سمبل ارسالی	کد متناظر
۰۰۰	-۱	۱,۲
۰۰۱	+۱	۱,۲
۰۰۱۰	-۱	۳,۱
۰۰۱۱	+۱	۳,۱
۰۱۰۰	-۱	۱,۴
۰۱۰۱	+۱	۱,۴
۰۱۱۰	-۱	۱,۵
۰۱۱۱	+۱	۱,۵
۱۰۰۰	-۱	۳,۲
۱۰۰۱	+۱	۳,۲
۱۰۱۰	-۱	۲,۴
۱۰۱۱	+۱	۲,۴
۱۱۰۰	-۱	۳,۴
۱۱۰۱	+۱	۳,۴
۱۱۱۰	-۱	۳,۵
۱۱۱۱	+۱	۳,۵

تخمین زده می‌شود که این بخش نیز حاوی بخشی از اطلاعات ارسالی می‌باشد. پس بازده طیفی در مقایسه با روش معمول ارسال با یک آنتن افزایش می‌یابد. همچنین مزیت این روش در مقایسه با روش‌هایی مانند V - BLAST^{۱۲} و کد فضا - زمان^{۱۳} (STC)، در عملکرد بهتر و در بازده طیفی برابر است [۵] و [۶]. در واقع به جهت آن که در SM به طور هم‌زمان آنتن‌ها فعال نمی‌باشد، تداخل بین کانالی^{۱۴} (ICI) و تداخل بین آنتنی^{۱۵} (IAI) در آن وجود ندارد و نیازی به استفاده از روش‌های مختلف حذف تداخل^{۱۶} در گیرنده نیست [۲] و همین عامل سبب کاهش پیچیدگی تخمین اطلاعات ارسالی در گیرنده می‌شود. معیار بهینه برای تشخیص سمبیل و شماره آنتن ارسالی به صورت هم‌زمان در [۵] ارائه و نشان داده شده که عملکرد SM بهتر از سایر روش‌های استفاده از چند آنتن می‌باشد.

در [۷] روشنی معرفی شده که به آن مدولاسیون فضایی تعمیم یافته^{۱۷} (GSM) می‌گویند. در این روش تعدادی از آنتن‌ها به طور هم‌زمان فعال می‌باشد و یک سمبیل مشخص از تمام آنتن‌های فعال ارسال می‌شود. مزیت این روش نسبت به SM آن است که در آن تعداد آنتن‌های ارسالی هر عدد دلخواهی می‌تواند باشد و همچنین سمبیل ارسال شده دارای بهره چندگانگی در فرستنده است. نتایج نشان‌دهنده آن است که در بازده طیفی برابر، روش تعمیم یافته عملکرد بهتری نسبت به روش SM دارد [۷] و [۸]. در [۹] باند بالای احتمال خطای GSM در کانال‌های با محوشگی رایلی و رایسین محسوبه شده و در [۱۰] نیز نشان داده شده که با استفاده از تعداد بهینه آنتن‌های ارسالی می‌توان به احتمال خطای بهتری از تسهیم حاصل شده دست یافت.

7. Computational Complexity
8. Channel State Information
9. Flat Fading
10. Multi Input-Multi Output
11. Maximum Likelihood

1. Vertical-Bell Lab Layered Space-Time
2. Space Time Code
3. Inter Channel Interference
4. Inter Antenna Interference
5. Interference Cancellation
6. Generalised Spatial Modulation



شکل ۲: بلوک دیاگرام GSM همراه با کد کانولوشنال.

شد. یک کدکننده کانولوشنال با نرخ $R = k/n$ که در آن k برابر تعداد بیت ورودی کدکننده و n برابر بیت‌های خروجی کدکننده می‌باشد، میزان بازده طیفی اطلاعات را به میزان k/n کاهش خواهد داد [۱۱]. در مدولاسیون فضایی که یکی از ویژگی‌های برجهسته آن، افزایش بازده طیفی در مقایسه با روش متداول ارسال اطلاعات می‌باشد، در صورت استفاده از این کدگذاری کانال باید ترتیبی اتخاذ شود تا بازده طیفی تغییری نکند. یک راه برای حل این مشکل استفاده از ایده مدولاسیون کدشده تریلیس^۳ می‌باشد. مطابق این روش در کدکننده k بیت اطلاعات وارد شده و $+1$ بیت از آن خارج می‌شود. سپس دنباله ارسالی از بلوک مدولاسیون عبور داده می‌شود و به جهت آن که نرخ ارسال اطلاعات کاهش نیابد اندازه منظومه نیز دو برابر می‌شود. به عنوان نمونه به جای استفاده از مدولاسیون بازتری بدون کدگذاری، از کد کانولوشنال با نرخ کدگذاری $1/2$ و مدولاسیون QAM^۴ استفاده شود. در نتیجه بازده طیفی تغییری نمی‌کند. شکل ۲ بلوک دیاگرام استفاده از کد کانولوشنال در مدولاسیون فضایی تعمیم‌یافته را نشان می‌دهد. مطابق شکل ابتدا دنباله ارسالی از کدکننده کانولوشنال عبور کرده و سپس وارد کدکننده GSM می‌شود. سپس از کانال با محوشدگی رایلی عبور داده شده و وارد بخش گیرنده می‌گردد. در گیرنده، ابتدا بلوک دمدولا‌لتور GSM دنباله ارسالی را تخمین زده و سپس دنباله تخمین زده از بلوک کدگشایی کانولوشنال (الگوریتم ویتری) عبور می‌کند. از آنجا که پیش از بلوک کدگشایی کانولوشنال، بلوک کدگشایی GSM وجود دارد پس ورودی بلوک کدگشایی کانولوشنال به صورت صفر و یک بوده و تضمیم‌گیری الگوریتم ویتری نیز از نوع تضمیم‌گیری سخت^۵ می‌باشد. معیار تضمیم‌گیری بهینه در الگوریتم ویتری با فرض هم‌احتمال بودن وقوع سمبیلهای مختلف، معیار ML بوده که برای حالت تضمیم‌گیری سخت مطابق^(۴) خواهد بود [۱۲]

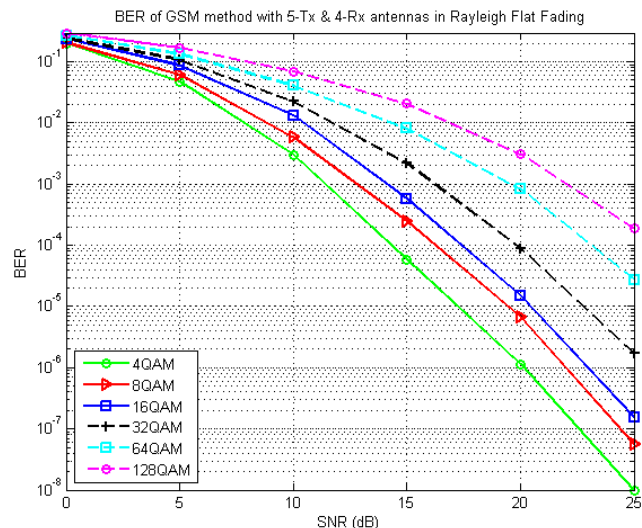
$$\hat{V} = \max_V P(R|V) \equiv \min d_H(R,V) \quad (4)$$

در این رابطه \hat{V} بردار تخمین زده شده، R بردار دریافتی در گیرنده کد کانولوشنال، V دنباله ارسالی در فرستنده و $d_H(R,V)$ برابر فاصله همینگ^۶ دنباله دریافتی و ارسالی می‌باشد. بر طبق رابطه فوق هر دنباله ارسالی که فاصله همینگ کمتری نسبت به دنباله دریافتی داشته باشد به عنوان دنبال تخمین زده شده در نظر گرفته می‌شود. شکل ۳ مقایسه احتمال خطای روش GSM و استفاده از مدولاسیون دوتایی با حالت کدشده با نرخ کدگذاری $1/2$ و استفاده از مدولاسیون QAM^۴ را نشان می‌دهد. همان گونه که در شکل مشخص می‌باشد روش جدید بیش از دو دسیبل در SNR های متوسط سبب ایجاد بهبود شده که البته نیاز به سیستمی با پیچیدگی بیشتری برای بخش کدکننده و کدگشایی کانولوشنال می‌باشد.

3. Trellis Coded Modulation

4. Hard Decision

5. Hamming Distance



شکل ۱: احتمال خطای مدولاسیون فضایی تعمیم‌یافته.

هم‌احتمال فرض می‌شود، معیار تضمیم‌گیری بهینه برابر معیار^۷ خواهد بود و بنابراین خواهی داشت

$$\begin{aligned} [\hat{J}_{ML}, \hat{q}_{ML}] &= \arg \max_{j,q} P_Y(y|x_{jq}, H') = \\ &\arg \max_{j,q} \operatorname{Re}\{y^H h_j' x_q\} - \frac{1}{2} \sqrt{\rho} \|h_j' x_q\|_F \end{aligned} \quad (3)$$

که در رابطه فوق \hat{J}_{ML} تخمین شماره آنتن‌های فعال ارسالی، \hat{q}_{ML} تخمین سمبیل ارسالی در گیرنده، ماتریس H' دارای N_R سطر می‌باشد و h_j' نیز یکی از ستون‌های ماتریس H' است. شکل ۱ احتمال خطای GSM را با فرض ۵ آنتن در فرستنده که ۲ آنتن در هر دوره سمبیل فعال می‌باشد، ۴ آنتن در گیرنده و استفاده از مدولاسیون M-QAM نشان می‌دهد و کلیه شبیه‌سازی‌های این مقاله با روش مونت کارلو^۸ انجام شده است.

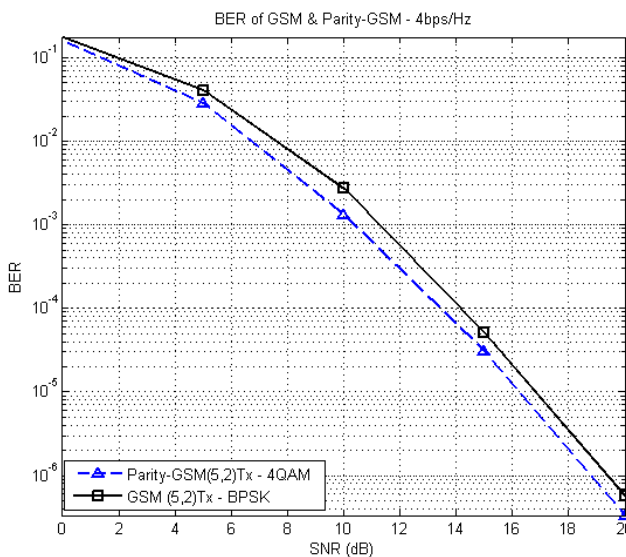
۳- بهبود عملکرد GSM

به جهت ایجاد بهبود در عملکرد GSM باید بتوان خطای تخمین شماره آنتن و یا خطای تخمین سمبیل را بهبود بخشد. از آنجا که سمبیل ارسالی دارای مرتبه چندگانگی برابر حاصل ضرب تعداد آنتن‌های فعال فرستنده در تعداد آنتن‌های گیرنده می‌باشد و از آنجا که در GSM در فرستنده حداقل ۲ آنتن و در گیرنده نیز معمولاً چندین آنتن مورد استفاده قرار می‌گیرد، پس نسخه‌های متعددی از یک سمبیل در گیرنده دریافت می‌شود و احتمال خطای ناشی از سمبیل ارسالی در مقایسه با مروض مدلولاسیون فضایی کاهش می‌یابد. در نتیجه افزودن به تعداد آنتن‌های فعال در فرستنده در کاهش احتمال خطای سمبیل تأثیر قابل ملاحظه‌ای ندارد. در نتیجه تلاش شده تا با استفاده از روش‌های کدگذاری کانال به طور مناسب، احتمال خطای کاهش می‌یابد. روش‌های ارائه شده به گونه‌ای است که بدون ایجاد تغییر در بازده طیفی سبب بهبود عملکرد خواهد شد.

۱-۳ استفاده از کدگذاری کانولوشنال

یک روش بهبود احتمال خطای در سیستم‌های مخابرات بی‌سیم، استفاده از کدگذاری کانال می‌باشد اما این روش سبب کاهش بازده طیفی خواهد

1. Maximum Likelihood
2. Monte Carlo

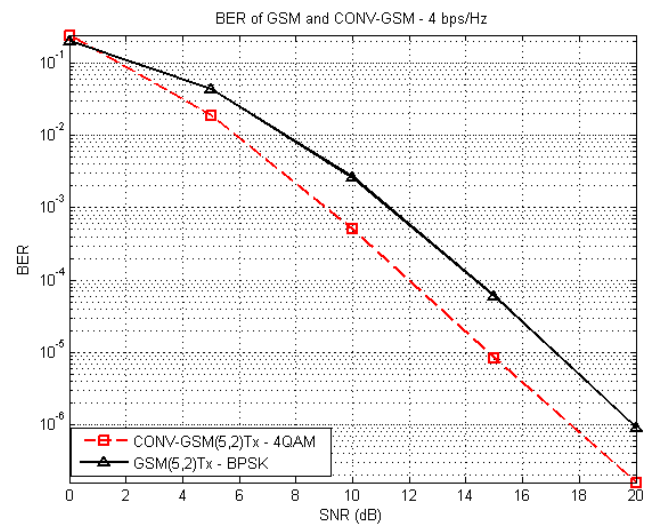


شکل ۵: استفاده از کد توازن در GSM در مقایسه با حالت رایج.

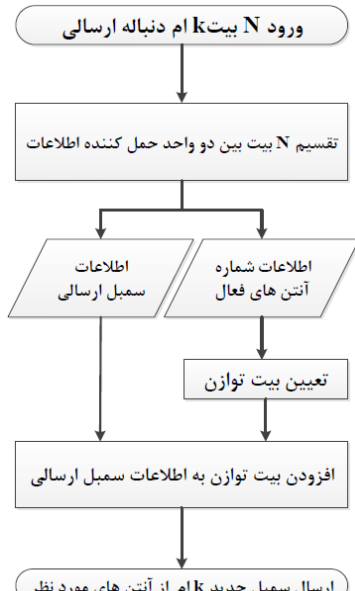
دنباله ارسالی جدا شده و به دو واحد حمل کننده اطلاعات اختصاص می‌باید. سپس یک بیت توازن بسته به کد آتنن‌های فعال به سمبیل ارسالی افزوده می‌شود تا در صورت وقوع یک بیت خطا در تخمین شماره آتنن‌ها در گیرنده، این خطای قابل تشخیص باشد. پس از آن سمبیل جدید از طریق آتنن‌های مشخص شده ارسال می‌شود. از آنجا که در اکثر اوقات اگر خطایی رخ دهد تنها مربوط به تشخیص اشتباه یکی از آتنن‌های فعال می‌باشد و از آنجا که این اشتباه اغلب سبب بروز یک بیت خطا در تخمین خواهد بود، پس با استفاده از کد توازن می‌توان در عملکرد مدولاسیون فضایی بدون افزودن پیچیدگی زیادی به ساختار فرستنده-گیرنده بهمود ایجاد کرد. از آنجا که معیار تصمیم‌گیری در روش GSM برابر بیشینه‌شدن (۳) می‌باشد، پس از آن که خطای در گیرنده تشخیص داده شد کافی است عبارتی در نظر گرفته شود که از لحظه بیشینه‌بودن در مرتبه دوم قرار دارد. اگر دومی نیز دارای خطای تشخیص داده شود روال فوق تا رسیدن به حالت بدون خطای ادامه می‌باید. شکل ۵ احتمال خطای روشن GSM را با استفاده از کد توازن و بدون آن را نشان می‌دهد. در این شکل از آنجا که بیت توازن تنها قابلیت تشخیص تعداد فردی از خطای را دارد و قدرت تصحیح آن وجود ندارد بنابراین بهبود به دست آمده از روش فوق کمتر از یک دسی‌بل در SNR های متوسط خواهد بود.

۳-۳ استفاده از حالت‌های صرف نظر شده در GSM

همان گونه که پیشتر اشاره شد در GSM بسته به مدولاسیون استفاده شده، تعداد آتنن‌های فعال و همچنین تعداد کل آتنن‌های موجود در فرستنده، تعداد کل حالت‌های موجود و حالت‌های مورد نیاز تعیین می‌شود. به عنوان نمونه جدول ۲ حالتی را نشان می‌دهد که در آن از مدولاسیون BPSK و ۲ آتنن فعال از مجموع ۵ آتنن فرستنده استفاده شده است. با این فرضیات تعداد کل حالت‌ها برابر $M \times \binom{N_T}{N_A} = 20$ حالت خواهد بود که تعداد بیت‌های قابل ارسال در هر بار ارسال با این روش برابر $\log_2(M \times \binom{N_T}{N_A}) = 4$ بیت خواهد بود. بنابراین تعداد کل حالت‌های مورد نیاز برابر $= 16 = 2^{\lceil \log_2(M \times \binom{N_T}{N_A}) \rceil}$ حالت خواهد بود و ۴ حالت آن بدون استفاده رها می‌شود. جهت بهبود عملکرد GSM می‌توان از این حالت‌های صرف نظر شده نیز بهره‌برداری نمود. در گیرنده، (۳) به اطلاعات ورودی اعمال شده و شماره آتنن‌های فعال و سمبیل ارسالی تخمین زده می‌شود.



شکل ۶: مقایسه احتمال خطای GSM بدون کاتالوشتال و با آن.

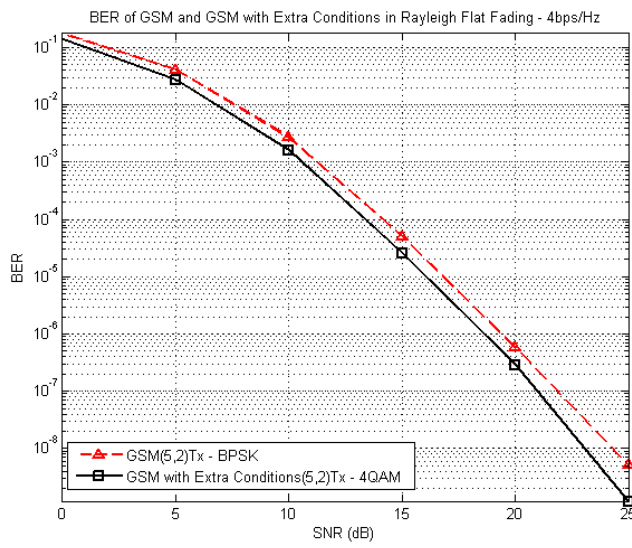


شکل ۶: روند نمای افزودن بیت توازن به GSM.

۳-۴ استفاده از کد بررسی توازن

از آنجا که در تخمین آتنن‌ها بر خلاف تخمین سمبیل ارسالی، اطلاعات اضافی در دسترس نیست و این کار صرفاً از طریق استفاده از ماتریس حالات کانال در گیرنده صورت می‌پذیرد، پس امکان استفاده از چندگانگی برای بهبود تخمین شماره آتنن وجود ندارد. روشهای در اینجا مطرح می‌شود آن است که از یک کدگذاری کانال استفاده شود که بتواند خطای تخمین شماره آتنن‌های فعال را تشخیص دهد و احتمال خطای را بهبود بخشد. از آنجا که این هدف با به کارگیری کد بررسی توازن^۱ امکان‌پذیر می‌باشد و جهت جلوگیری از افزودن پیچیدگی در پیاده‌سازی این روش، این کد جهت پیاده‌سازی انتخاب و روند نمای این روش در شکل ۶ آورده شده است. از آنجا که سمبیل ارسالی دارای چندگانگی می‌باشد و نسخه‌های مختلف آن در گیرنده دریافت شده، پس بیت توازن فقط به آن بخش از اطلاعات تخصیص می‌یابد که شماره آتنن‌های فعال را حمل می‌کند. مطابق شکل ۶ در هر بار اجرای روش GSM، ابتدا N بیت از

1. Parity Check Code



شکل ۷: مقایسه احتمال خطای GSM و روش جدید.

$$\text{تعریف } C_{GSM} = \binom{N_T}{N_A} N_C = 2N_C N_R + N_C M + M \quad (5)$$

که در رابطه فوق M برابر اندازه منظومه و N_R تعداد آتن‌های موجود در گیرنده می‌باشد. عبارت اول (۳) دارای $N_C N_R + N_C M$ و عبارت دوم شامل $N_C N_R + M$ تعداد ضرب مختلط است.

۲-۴ پیچیدگی محاسباتی روش GSM با کد پریتی

این حالت مشابه حالت GSM می‌باشد با این تفاوت که در آن اندازه منظومه دو برابر شده است. بنابراین خواهیم داشت

$$C_{GSM-P} = 2N_C N_R + 2N_C M + 2M \quad (6)$$

۳-۴ پیچیدگی محاسباتی روش GSM با حالات محدود

در این روش اندازه مدولاسیون دو برابر و تعداد حالات آتن‌ها نصف شده است. پس رابطه پیچیدگی محاسباتی به صورت زیر خواهد بود

$$C_{GSM-P} = N_C N_R + N_C M + 2M \quad (7)$$

۴-۴ پیچیدگی محاسباتی روش GSM با کد کانولوشنال

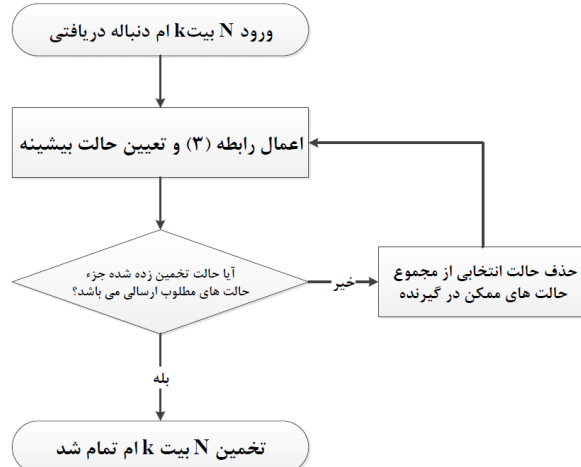
پیچیدگی محاسباتی این روش برابر مجموع پیچیدگی محاسباتی روش GSM و روش کدگذاری کانولوشنال است و به بیان ریاضی خواهیم داشت

$$C_{Conv-GSM} = C_{GSM} + C_{Conv-Code} \quad (8)$$

بخش کدکننده و کدگشایی کد کانولوشنال هیچ عملیات ضرب مختلطی ندارد اما به طور کلی پیچیدگی محاسباتی آن بسته به تعداد ثبات‌های^۱ به کار رفته در کدکننده، قابل مقایسه با ضرب مختلط خواهد بود و باید در محاسبات مدنظر قرار بگیرد.

۵- جمع‌بندی و نتیجه‌گیری

در مقاله حاضر به بررسی مدولاسیون فضایی تعمیم یافته پرداخته شد و به سه روش جهت ایجاد بهبود در احتمال خطای این مدولاسیون در کانال‌های با محوشدگی چندمسیری اشاره شد. کلیه روش‌های اشاره شده به صورتی است که تغییری در بازده طیفی روش جدید در مقایسه با روش



شکل ۶: روند نمای استفاده از حالت‌های صرف نظر شده.

در صورتی که حالت تخمین زده جزء حالت‌های ممکن نباشد و شامل حالت‌های رهاسده قرار گیرد وجود خطای در تخمین اطلاعات مشخص می‌شود. بنابراین باید مجدداً به سراغ (۳) رفت و حالت نخست را حذف و مجدداً معیار را اعمال نموده و حالت بیشینه را تعیین نمود. این روند تا آنجا ادامه می‌یابد که حالت تخمین زده شده جزء حالت‌های ممکن قرار گیرد. این ایده مشابه اتفاقی است که در خصوص کدگذاری کانال روی می‌دهد. در کدگذاری کانال نیز با افزودن بیت‌های اضافی به دنباله ورودی، تعداد حالت‌های رخ داده در گیرنده بیش از تعداد حالات ارسال شده می‌باشد و با درجه آزادی ایجاد شده در آن، در صورتی که سمبیل تخمین زده شده جزء سمبیل‌های مطلوب نباشد، یعنی خطای رخ داده و با کمک روش‌های مختلف کدگشایی، محتمل‌ترین سمبیل مطلوب انتخاب می‌شود. در اینجا نیز جهت دستیابی به احتمال خطای بهتر، تعداد حالت‌های صرف نظر شده افزایش می‌یابد تا از این ویژگی استفاده بهتری بشود و از طرفی جهت ثابت‌ماندن بازده طیفی، اندازه منظومه افزایش یابد. شکل ۶ روند نمای این روش را نشان می‌دهد. از آنجا که در روش فوق مشابه سایر روش‌های کدگذاری کانال الگوریتم کدکننده و کدگشایی وجود ندارد و تنها روش جهت تشخیص خطای ایجاد شده، بنابراین بهره‌به دست آمده از این روش در مقایسه با روش‌های کدگذاری کانال کمتر خواهد بود. شکل ۷ مقایسه احتمال خطای روش فوق و روش GSM را نشان می‌دهد.

۴- پیچیدگی محاسباتی

در بخش قبلی سه شیوه جهت بهبود عملکرد روش GSM مطرح شد. در این بخش به بررسی پیچیدگی محاسباتی روش‌های فوق از لحاظ تعداد عملیات محاسباتی پرداخته می‌شود. از آنجا که عمل ضرب نسبت به جمع دارای پیچیدگی به مرتبه بیشتری می‌باشد و در واقع یک ضرب از تعدادی جمع تشکیل شده و همچنین از آنجا که روش‌های اشاره شده در بخش‌های قبلی تقریباً دارای تعداد برابری عمل جمع می‌باشد، در اینجا تنها عملیات ضرب مختلط به عنوان یک عملیات محاسباتی در نظر گرفته شده است. ذکر این نکته قابل ملاحظه است که (۳) معیار تخمین اطلاعات ارسالی در روش GSM و همچنین سه روش مطرح شده در بخش قبل می‌باشد و تنها در روش‌های جدید اشاره شده، برخی از پارامترها بسته به نوع روش تغییر کرده و تعداد عملیات فوق را تغییر خواهد داد.

۱- پیچیدگی محاسباتی روش GSM

با فرض N_A آتن فعال در هر دوره سمبیل از مجموع N_T آتن و با

- [8] J. Wang, S. Jia, and J. Song, "Generalised spatial modulation system with multiple active transmit antenna and low complexity detection scheme," *IEEE Trans. Wireless Commun.*, vol. 11, no. 4, pp. 1605-1615, Apr. 2012.
- [9] M. Koca and H. Sari, "Generalized spatial modulation over correlated fading channels: performance analysis and optimization," in *Proc. 20th Int. Conf. on Telecommunications, ICT*, 5 pp., 6-8 May 2013.
- [10] T. Datta and A. Chockalingam, "On generalized spatial modulation," in *Proc. IEEE Wireless Communications and Networking Conf. WCNC*, pp. 2716-2721, Shanghai, China, 7-10 Apr. 2013.
- [11] J. Proakis and M. Salehi, *Digital Communications*, 5th Ed.: McGraw-Hill Education, 2007.
- [12] D. J. Costello and S. Lin, *Error Control Coding*, 2nd Ed.: Prentice-Hall, 2004.

علیرضا رضوانی تحصیلات خود را در مقطع کارشناسی مخابرات در سال ۱۳۹۰ از دانشگاه سمنان و کارشناسی ارشد مخابرات در سال ۱۳۹۲ از دانشگاه یزد به پایان رسانده است. زمینه‌های تحقیقاتی مورد علاقه ایشان عبارتند از: سیستم‌های چند آنتن، تئوری کدینگ و مخابرات مشارکتی.

رضاعادت تحصیلات خود را در مقاطع کارشناسی الکترونیک، کارشناسی ارشد و دکتری مخابرات بهترتبه در سال‌های ۱۳۷۱، ۱۳۷۳ و ۱۳۷۸ از دانشگاه صنعتی اصفهان به پایان رسانده است. نامبرده از سال ۱۳۷۸ تا کنون به عنوان عضو هیأت علمی دانشگاه یزد مشغول فعالیت بوده و هم‌اکنون دانشیار دانشکده مهندسی برق و کامپیوتر دانشگاه یزد می‌باشد. زمینه‌های تحقیقاتی مورد علاقه ایشان عبارتند از: تخصیص منابع در شبکه‌های بی‌سیم و موقعیت‌یابی ادوات بی‌سیم.

جمشید ابوبی تحصیلات خود را در مقاطع کارشناسی و کارشناسی ارشد مخابرات بهترتبه در سال‌های ۱۳۷۲ و ۱۳۷۶ از دانشگاه صنعتی اصفهان و در مقطع دکتری مهندسی برق گرایش مخابرات در سال ۱۳۸۸ از دانشگاه اترلیو کانادا به پایان رسانده است و هم‌اکنون استادیار دانشکده مهندسی برق و کامپیوتر دانشگاه یزد می‌باشد. نامبرده قبل از پیوستش به دانشگاه یزد در سال‌های ۱۳۸۸ الی ۱۳۸۹ فوق‌دکتری دانشگاه تورنتو کانادا بوده است. زمینه‌های تحقیقاتی مورد علاقه ایشان عبارتند از: بازدهی انرژی در سیستم‌های حسگر بی‌سیم، مخابرات مشارکتی و رادیو شناختی.

GSM ایجاد نمی‌کند و تنها مقداری پیچیدگی محاسباتی به ساختار این روش‌ها می‌افزاید. در روش نخست افزودن کدگذاری کانولوشنال به GSM سبب ایجاد بهره‌ای بیش از ۲ دسی‌بل بدون کاهش بازده طیفی خواهد شد و این در حالی است که استفاده از هر نوع از کدگذاری کانال در یک سیستم مخابرایی با کاهش بازده طیفی همراه خواهد بود. در روش دوم با افزودن بیت توازن با شرایط اشاره شده، سبب ایجاد بهبود در عملکرد این روش شده است. در روش سوم نیز با استفاده از حالت‌های صرف نظر شده و افزایش تعداد این حالت‌ها، می‌توان بهره‌ای از این روش به دست آورد. در بخش پایانی نیز پیچیدگی محاسباتی روش‌های اشاره شده آمده و نتایج نشان‌دهنده آن است که جهت بهبود در احتمال خطای GSM می‌توان از روش‌های فوق، بسته به کاربرد و امکانات موجود بهره‌برداری نمود.

مراجع

- [1] Y. Chau and S. H. Yu, "Space modulation on wireless fading channels," in *Proc. IEEE Veh. Technol. Conf.*, vol. 3, pp. 1668-1671, 2001.
- [2] R. Y. Mesleh, H. Haas, C. W. Ahn, and S. Yun, "Spatial modulation - a new low complexity spectral efficiency enhancing technique," in *Proc. IEEE Int. Conf. Networking*, 5 pp., 25-27 Oct. 2006.
- [3] M. Di Renzo and H. Haas, "Spatial modulation for multiple antenna wireless system-a survey," *IEEE Communications Magazine*, vol. 49, no. 12, pp. 182 - 191, Dec. 2011.
- [4] J. Mietzner, R. Schober, L. Lampe, W. H. Gerstacker, and P. A. Hoeher, "Multiple - antenna techniques for wireless communications-a comprehensive literature survey," *IEEE Communications Surveys & Tutorials*, vol. 11, no. 2, pp. 87-105, 2009.
- [5] J. Jeganathan, A. Ghayeb, and L. Szczecinski, "Spatial modulation: optimal detection and performance analysis," *IEEE Commun. Lett.*, vol. 12, no. 8, pp. 545-547, Aug. 2008.
- [6] R. Y. Mesleh, H. Haas, S. Sinanovic, C. W. Ahn, and S. Yun, "Spatial modulation," *IEEE Trans. Veh. Technol.*, vol. 57, no. 4, pp. 2228-2241, Jul. 2008.
- [7] A. Younis, Y. Abdelhamid, N. Serafimovski, R. Mesleh, and H. Haas, "Generalised spatial modulation," in *Proc. Signals, Systems, and Computers, ASILOMAR*, pp. 1498-1502, Pacific Grove, CA, US, 7-10 Nov. 2010.